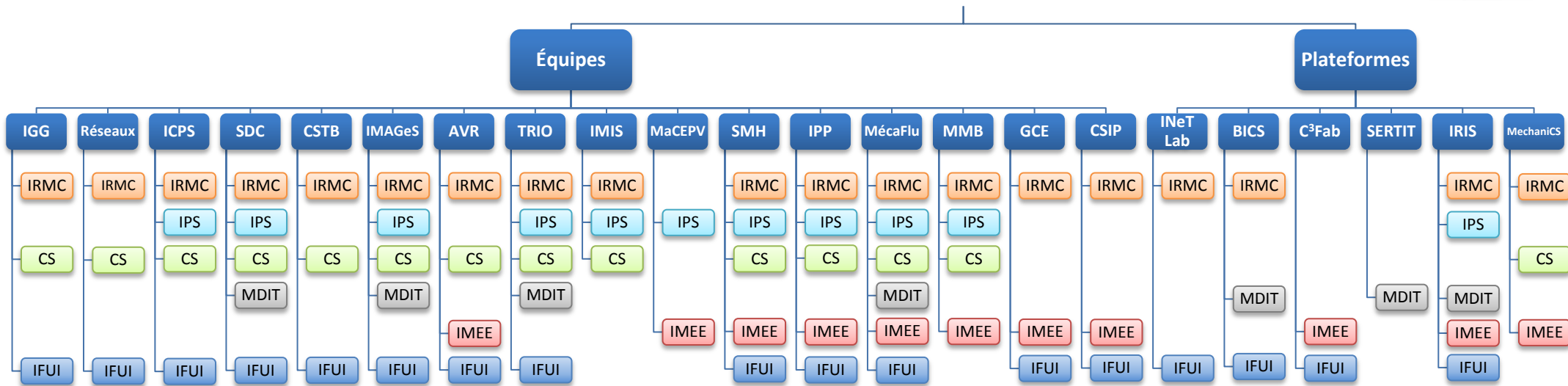


Organigramme des axes transverses



Équipes		Programmes	
IGG	Informatique, Géométrie et Graphique	IRMC	Imagerie et Robotique Médicale et Chirurgicale IGG-Réseaux-ICPS-SDC-CSTB-IMAGEs-AVR-TRIO-IMIS-SMH-IPP-MécaFlu-MMB-GCE-CSIP-IneT Lab-BICS-IRIS-MechaniCS
Réseaux	Réseaux	IPS	Imagerie Physique et Systèmes ICPS-SDC-IMAGEs-TRIO-IMIS-MaCEPV-SMH-IPP-MécaFlu-MMB-IRIS
ICPS	Informatique et Calcul Parallèle Scientifique	CS	Calcul scientifique IGG-Réseaux-ICPS-SDC-CSTB-IMAGEs-AVR-TRIO-IMIS-SMH-IPP-MécaFlu-MMB
SDC	Science des données et Connaissances	MDIT	Masse de données, Images et télédétection pour l'environnement SDC-IMAGEs-TRIO-MécaFlu-BICS-SERTIT-IRIS
CSTB	Systèmes Complexes, Bioinformatique Translationalnelle	IMEE	Ingénierie des matériaux pour l'énergie et l'environnement AVR-MaCEPV-SMH-IPP-MécaFlu-MMB-GCE-CSIP-C³Fab-IRIS-MechaniCS
IMAGEs	Images, Modélisation, Apprentissage, Géométrie et Statistique	IFUI	Industrie du Futur et Usine Intelligente IGG-Réseaux-ICPS-SDC-CSTB-IMAGEs-AVR-TRIO-SMH-IPP-MécaFlu-GCE-CSIP-IneT Lab-BICS-C³Fab-IRIS
AVR	Automatique, Vision et Robotique		
TRIO	Télé-détection, Radiométrie et Imagerie Optique		
IMIS	Imagerie Multimodale Intégrative en Santé		
MaCEPV	Matériaux pour Composants Electroniques et Photovoltaïques		
SMH	Systèmes et Microsystèmes Hétérogènes		
IPP	Instrumentation et Procédés Photoniques		
MécaFlu	Mécanique des Fluides		
MMB	Matériaux Multi-échelles et Biomécanique		
GCE	Génie Civil et Énergétique		
CSIP	Conception, Système d'Information et Processus inventifs		
INeT Lab	Internet Network Technologies Lab		
BICS	Bio-statistiques, Informatique et Systèmes Complexes		
C³Fab	Élaboration et de caractérisation de composants, cellules PV et capteurs		
SERTIT	SERvice Régional de Traitement d'Image et de Télédétection		
IRIS	Imagerie, Robotique et Innovation en Santé		
MechaniCS	Mécanique des Fluides et des Matériaux, Biomécanique, Conception et Simulation		